

# 面向医学影像配准 的深度双层优化学习

报告人：李 孜

2022年07月15日

- 研究背景
- 基于双层特征学习的配准
- 基于优化学习的可变形配准
- 基于自动机器学习的配准
- 总结与展望

# 第一章

---

---

# 研究背景

Research background

---

---

## ■ 面向 **生命健康** 的 **医学影像配准**

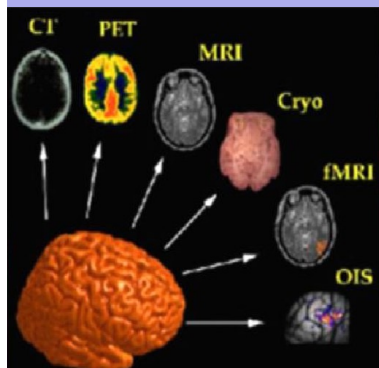
配准

- 不同的模态
- 不同的时间
- 不同的患者

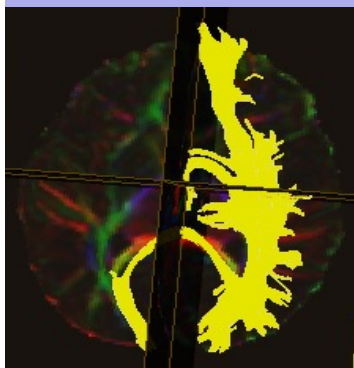


- 信息融合
- 时序分析
- 微创手术引导
- 图谱构建

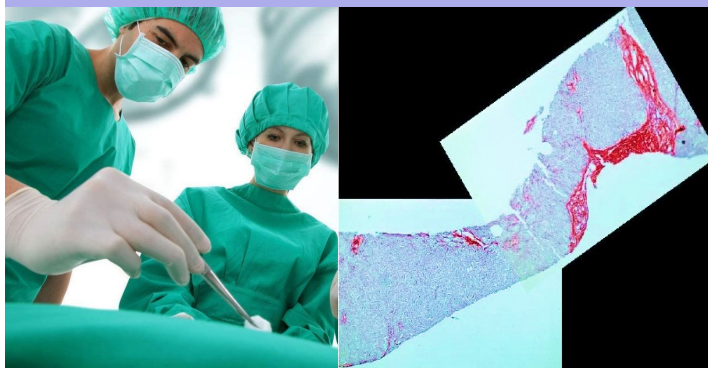
信息融合



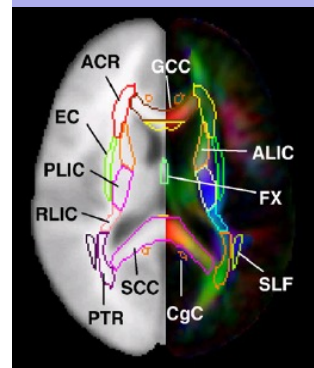
时序分析



微创手术引导

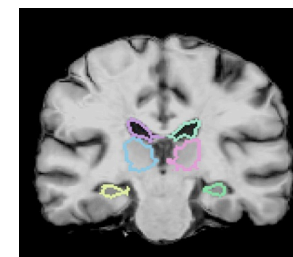
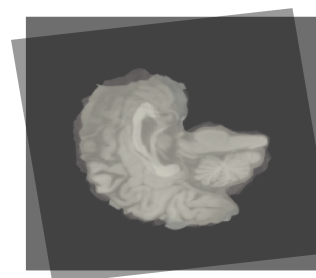
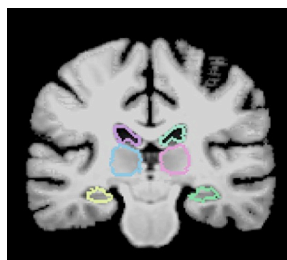
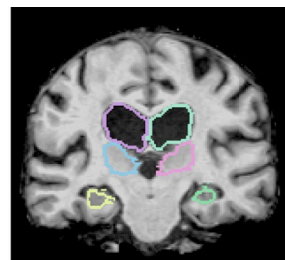
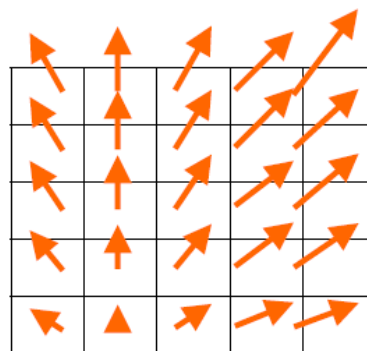
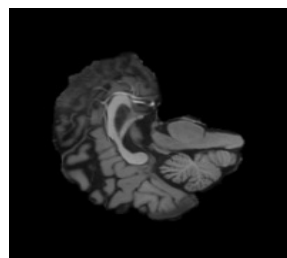


图谱构建



## ■ 配准的 优化目标 如下

$$\min_{\varphi} \underbrace{E_D(\varphi; F, M(\varphi))}_{\text{数据匹配项}} + \lambda \underbrace{E_R(\varphi)}_{\text{正则项}}$$



移动图像

目标图像

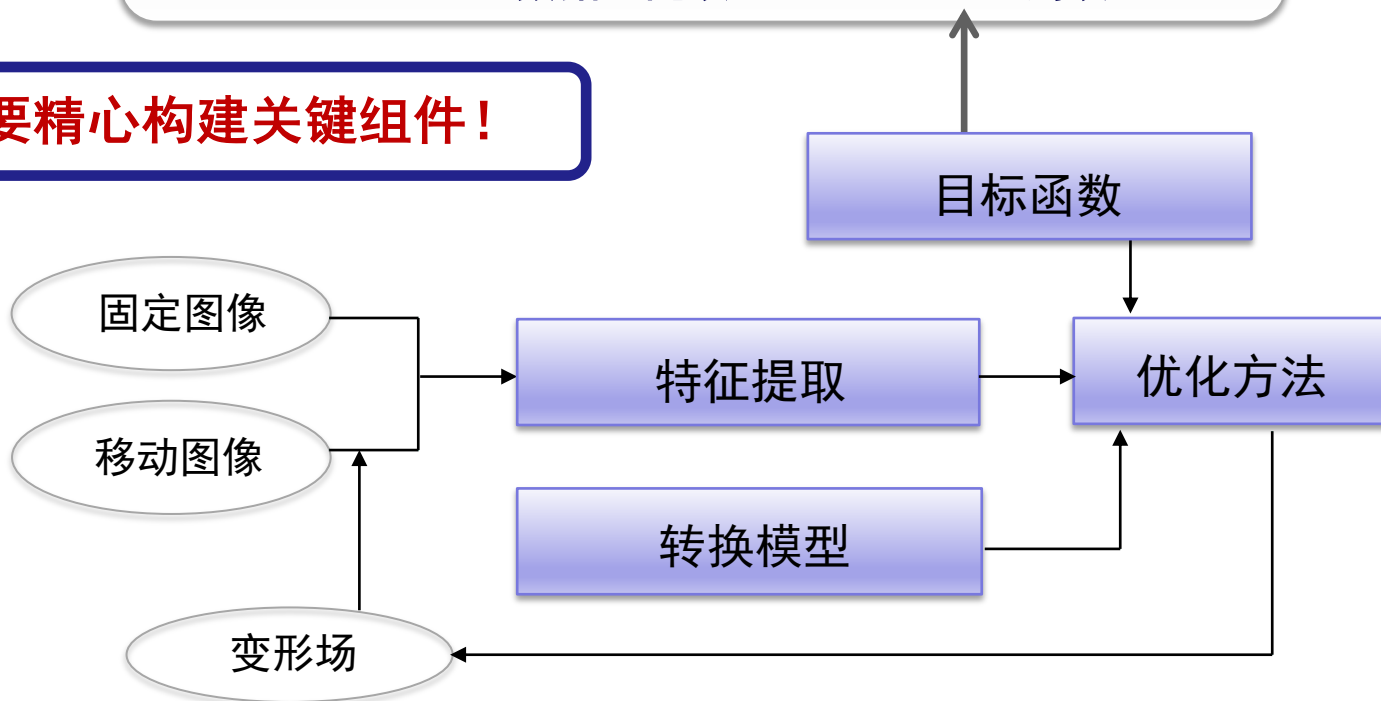
变形场

配准结果

## ■ 配准的 优化目标 如下

$$\min_{\varphi} \underbrace{E_D(\varphi; F, M(\varphi))}_{\text{数据匹配项}} + \lambda \underbrace{E_R(\varphi)}_{\text{正则项}}$$

需要精心构建关键组件！



## 传统的基于 优化 方法

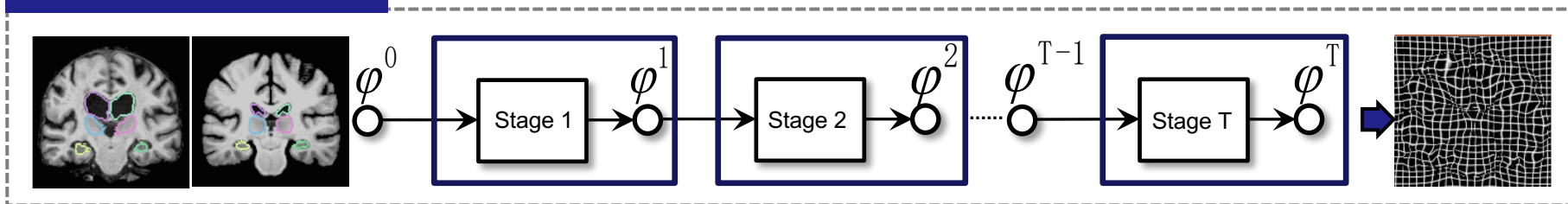
领域知识



嵌入

$$\min_{\varphi} \underbrace{E_D(\varphi; F, M(\varphi))}_{\text{数据匹配项}} + \lambda \underbrace{E_R(\varphi)}_{\text{正则项}}$$

高维最优化计算



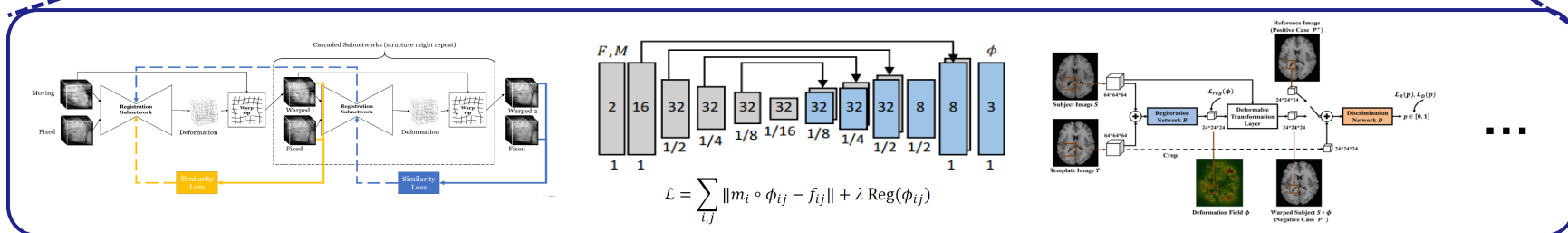
配准精度高



计算成本高

## ■ 基于深度学习的方法

### One-step变形估计



运行效率极高



缺乏几何约束



## ■ 国际/国内优秀研究团队

**Adrian Vasile Dalca**  
(麻省理工学院、哈佛医学院)

**Mattias Heinrich**  
(吕贝克大学)

**Ender Konukoglu**  
(苏黎世联邦理工学院)

**Marc Niethammer**  
(北卡大学教堂山分校)

**Tom Vercauteren**  
(伦敦国王学院)

**Tony C.W. Mok**  
(香港科技大学)

**沈定刚** (上海科技大学)



Massachusetts  
Institute of  
Technology



HARVARD  
MEDICAL SCHOOL



THE UNIVERSITY  
of NORTH CAROLINA  
at CHAPEL HILL



香港科技大学



UNIVERSITÄT ZU LÜBECK

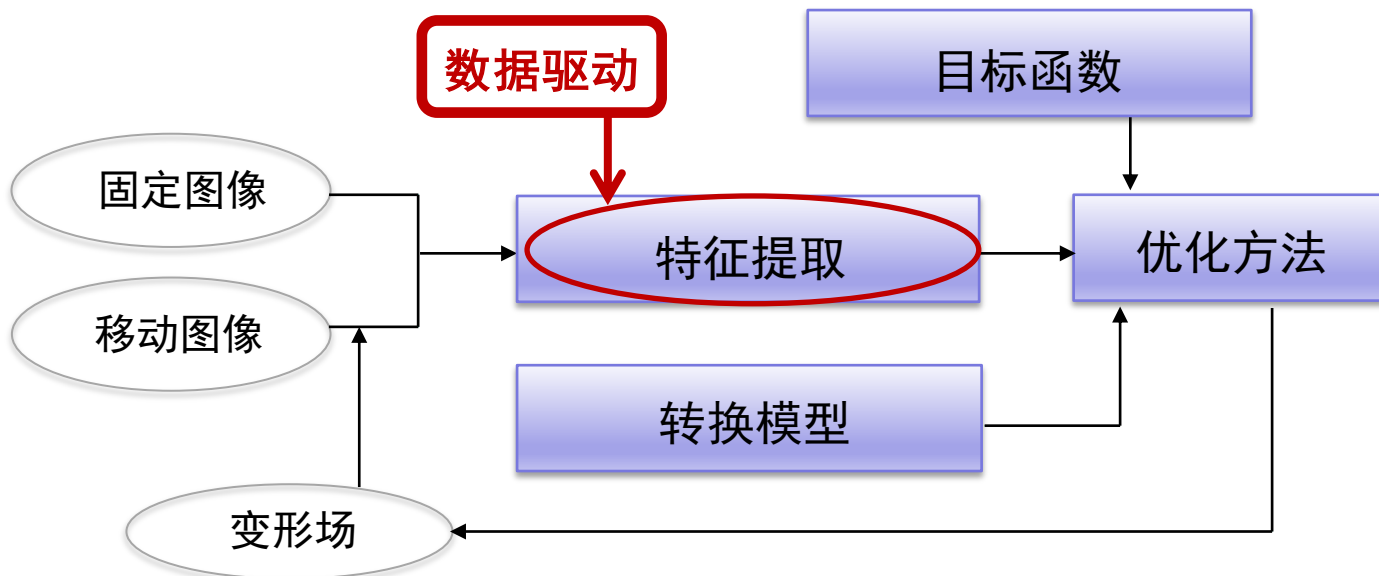
**ETH** zürich



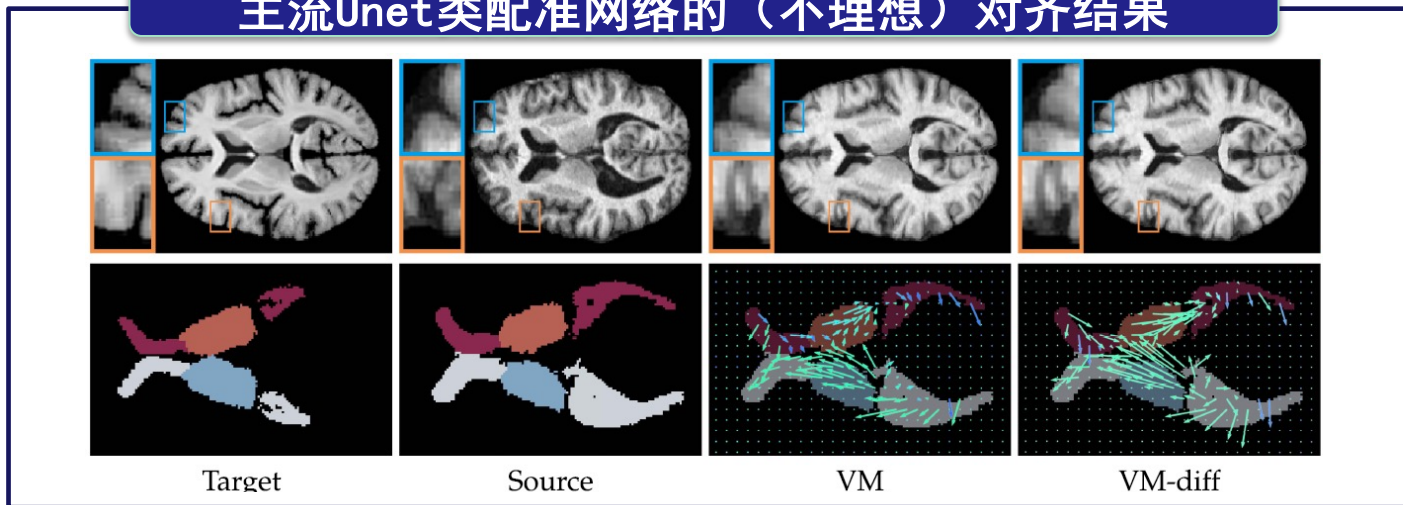
## 第二章

# 基于双层特征学习的配准

Bilevel feature learning for image registration



## 主流Unet类配准网络的（不理想）对齐结果



◆ 大多数网络难以自适应执行前端特征学习阶段的配准信息



# 基于双层特征学习的配准

- 上层：可变形配准优化； 下层：特征学习 (**约束**)

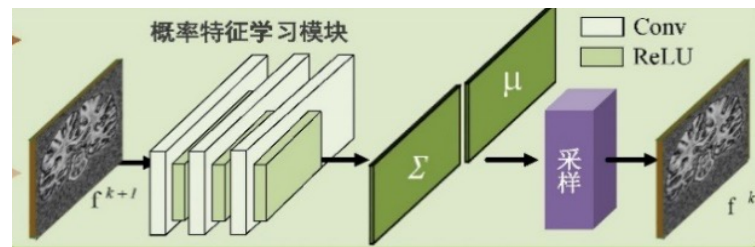
$$\min_{\varphi} E_D(\varphi; f_s, f_t) + E_R(\varphi),$$

$$s. t. f_s, f_t = \arg \max_{f_s, f_t} p(f_s | I_s, f_t | I_t, \varphi).$$

- **概率特征学习** 模块

$$f = \arg \min_f \ln p(f | I, \varphi)$$

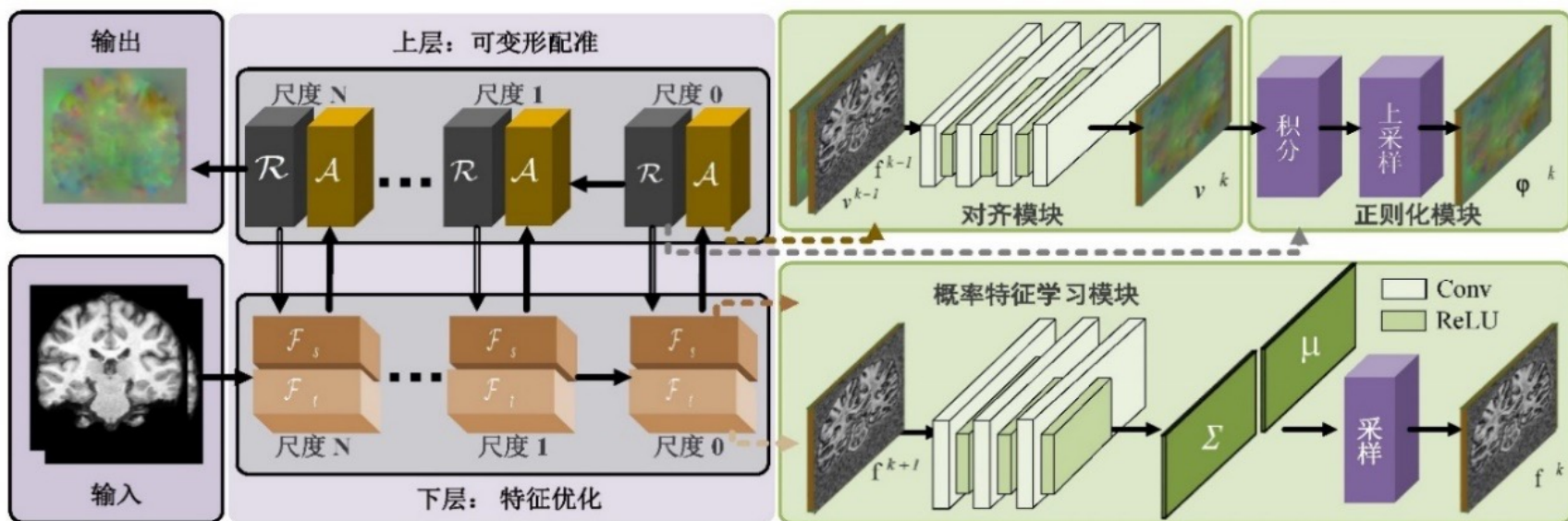
$$= \arg \min_f \underbrace{\ln p(I | f, \varphi)}_{\text{数据似然项}} + \underbrace{\ln p(f)}_{\text{先验}}$$



- ✓ 利用任务特定的配准信息
- ✓ 利用特征的高斯先验

# 基于双层特征学习的配准

## 流程图 (以端到端方式训练)



### 损失函数

特征域损失:  $l_{KL}(\mu, \Sigma) = 1/2(\text{tr}(\Sigma) + \|\mu\| - \log \det(\Sigma) - m)$

图像域损失:  $l(I_s, I_t; \varphi) = l_{NCC}(I_s \circ \varphi, I_t) + l_{\text{smooth}}(\varphi)$ .



# 基于双层特征学习的配准

## ◆ 准确度比较

配准性能 **领先!**

Dice score	Elastix <sup>[1]</sup>	NiftyReg <sup>[2]</sup>	ANTs <sup>[3]</sup>	VM <sup>[4]</sup>	VM-diff <sup>[5]</sup>	Ours
OASIS	0.709	0.748	0.765	0.765	0.757	<b>0.777</b>
ABIDE	0.699	0.747	0.728	0.754	<b>0.773</b>	0.764
ADNI	0.697	0.737	0.761	0.761	0.768	<b>0.773</b>
PPMI	0.730	0.765	0.778	0.775	0.781	<b>0.787</b>

## ◆ 运行时间比较

时间低于 **半秒!**

Runtime (s)	Elastix	NiftyReg	ANTs	VM	VM-diff	Ours
Img-to-Atlas	90	486	4529	0.615	0.512	<b>0.351</b>

[1] Elastix: A toolbox for intensity-based medical image registration. **IEEE TMI 2009.**

[2] Free-form deformation using lower-order B-spline for nonrigid image registration. **MICCAI 2014.**

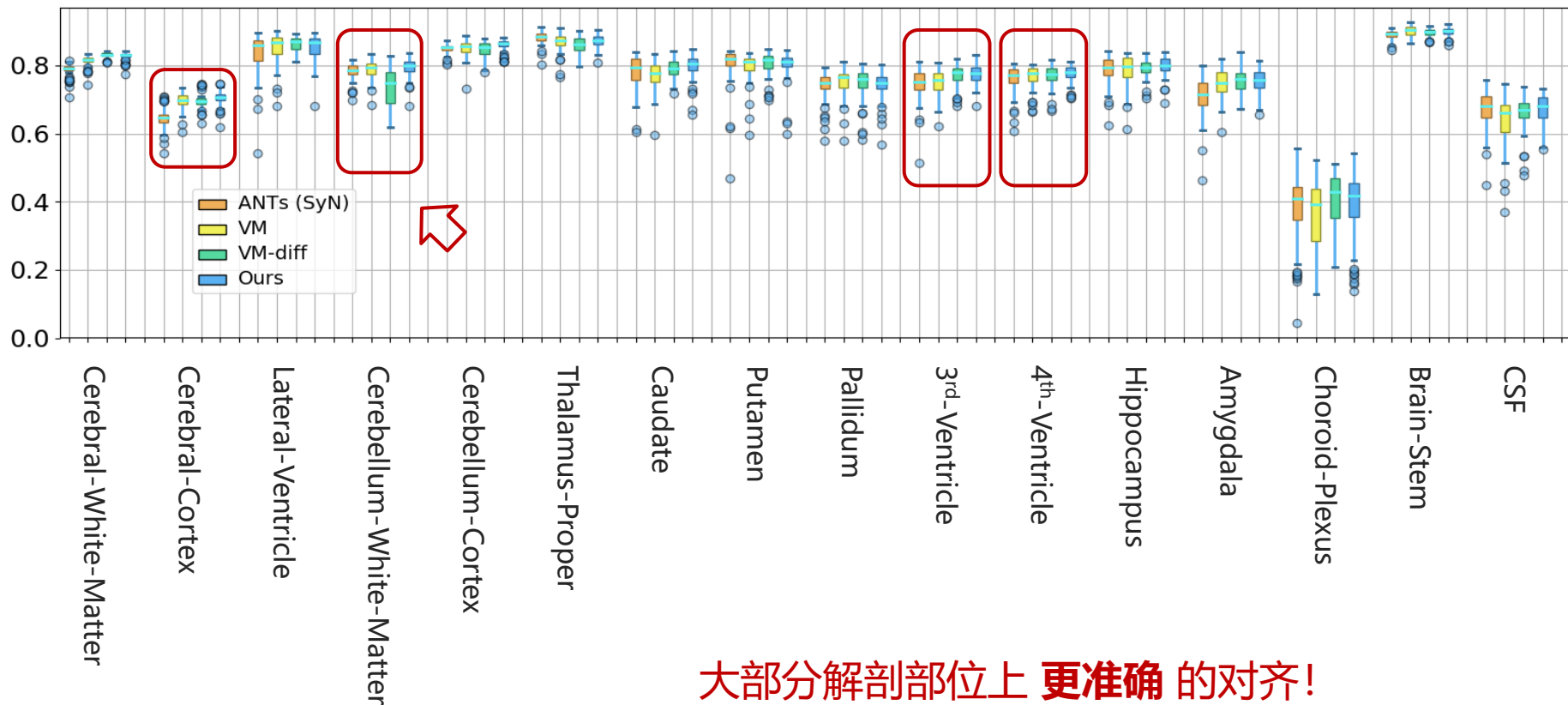
[3] A reproducible evaluation of ants similarity metric performance in brain image registration. **Neuroimage 2011.**

[4] Voxelmorph: A learning framework for deformable medical image registration. **IEEE TMI 2019.**

[5] Unsupervised learning of probabilistic diffeomorphic registration for images and surfaces. **Media 2019.**

# 基于双层特征学习的配准

## ◆ Dice分数的可视化



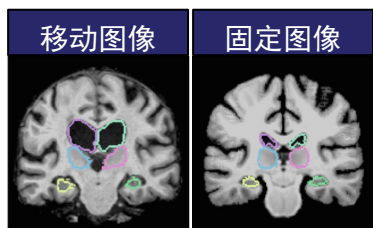
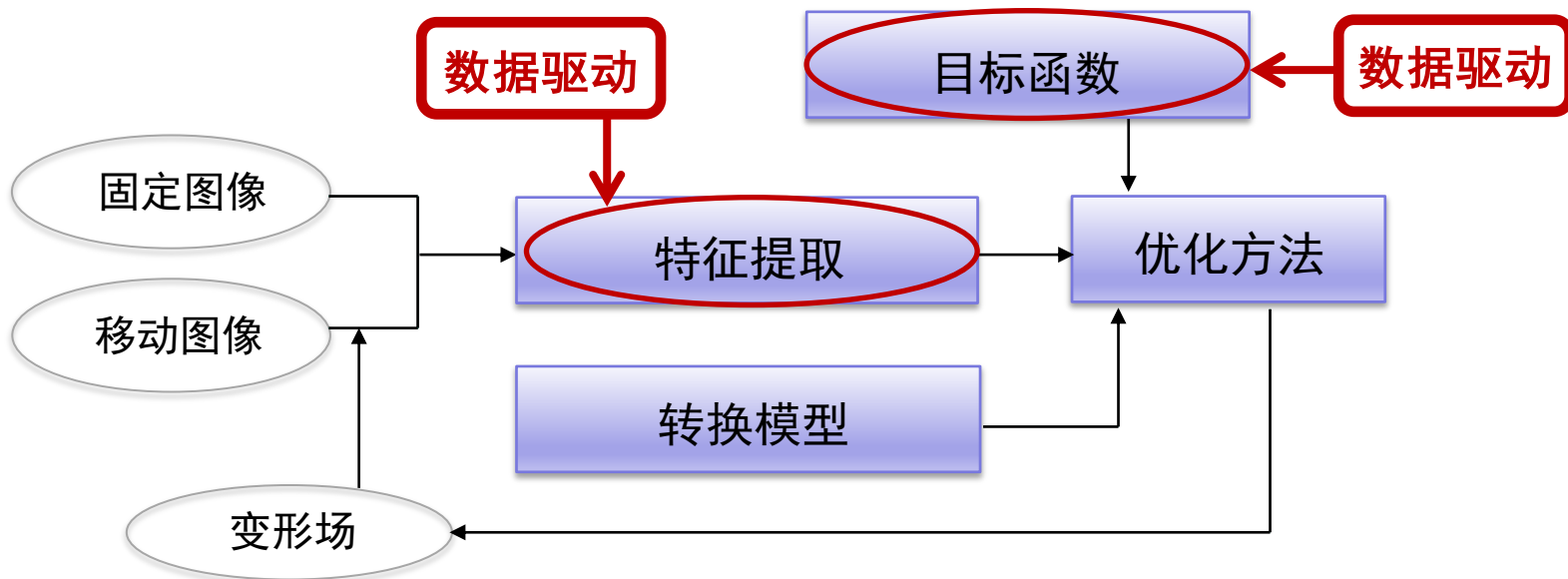
大部分解剖部位上 **更准确** 的对齐!



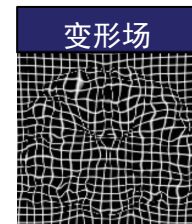
## 第三章

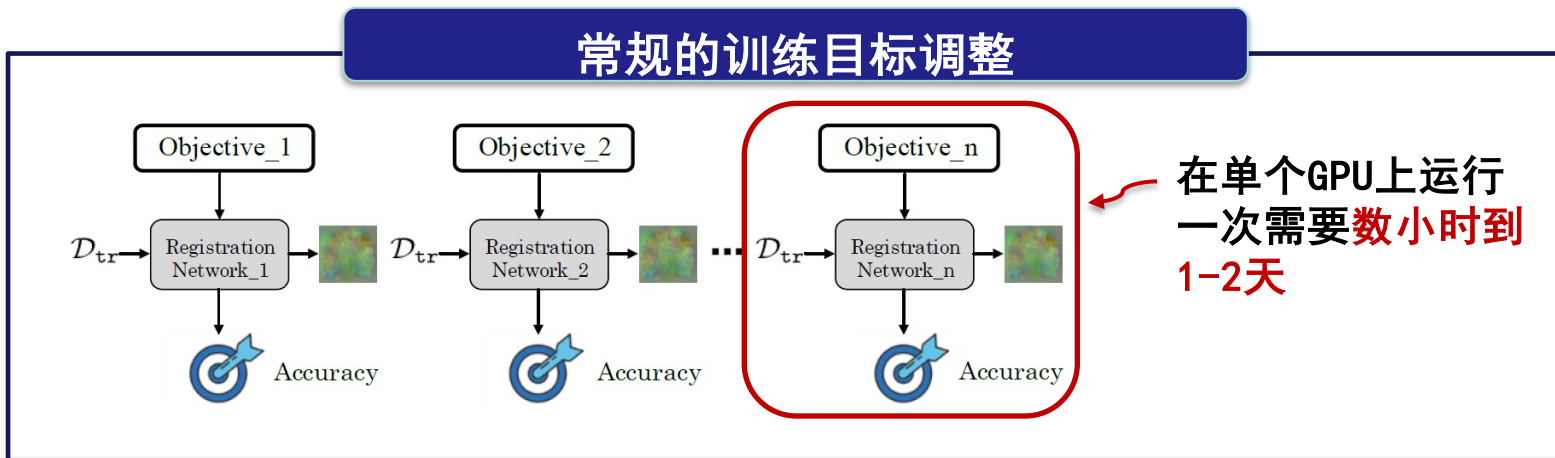
# 基于优化学习的可变形配准

Optimization learning for deformable image registration

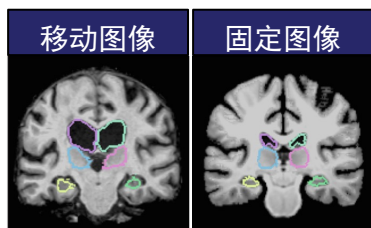


✓ 具备物理约束  
 ✓ 双层自调整训练

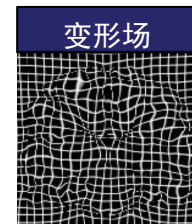




◆ 大多数配准网络训练目标**调试成本高**，且**缺乏物理约束**



✓ 具备物理约束  
✓ 双层自调整训练

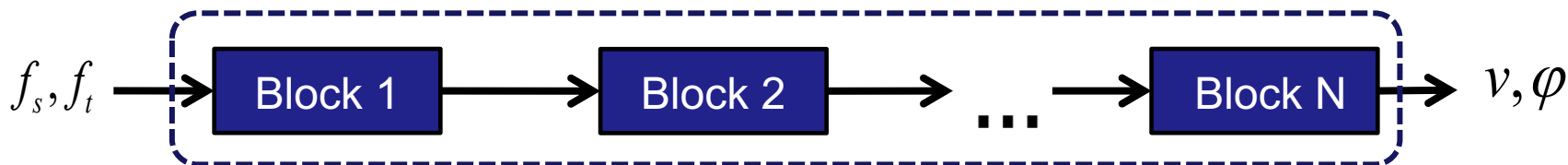


# 基于优化学习的可变形配准

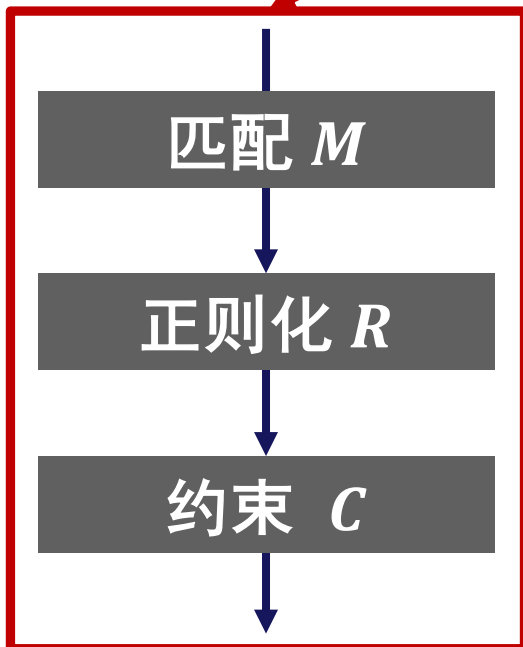
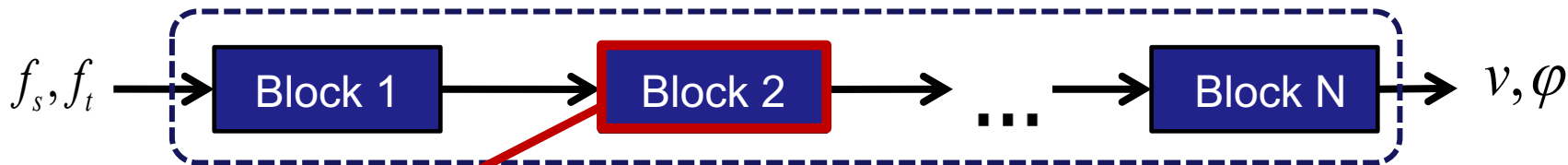
- 微分同胚可变形 配准的基本优化公式

$$\begin{aligned}
 & \min_v \underbrace{Mat(\varphi \circ s, t)}_{\text{数据匹配}} + \underbrace{(\lambda)Reg(v)}_{\text{正则化}}, \\
 \text{s. t. } & \underbrace{\frac{\partial \phi(t)}{\partial t} = v(\phi(t)), \phi(0) = Id, \varphi = \phi(1)}_{\text{微分同胚约束}}.
 \end{aligned}$$

- 基于**第二章特征空间**，进行**深度传播**



# 基于优化学习的可变形配准



- 基于误差映射的 **数据匹配** 模块

$$u^{k+1} = \mathcal{M}(\varphi^k, f_s^{k+1}, f_t^{k+1}, e^{k+1}; w_{\mathcal{M}^{k+1}}),$$

- 基于上下文的 **正则化** 模块

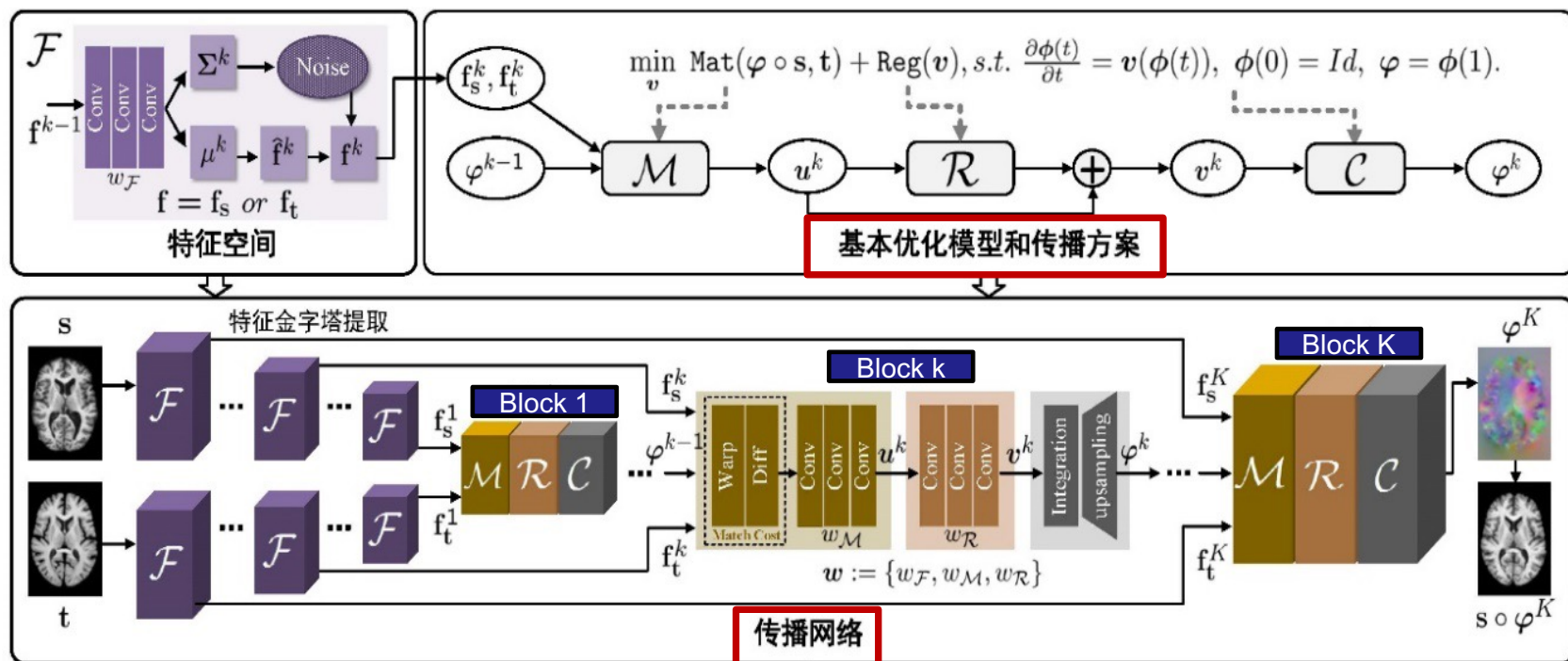
$$v^{k+1} = \mathcal{R}(u^{k+1}; w_{\mathcal{R}^{k+1}}),$$

- 几何 **约束** 模块

$$\varphi^{k+1} = \mathcal{C}(v^{k+1}; w_c).$$

# 基于优化学习的可变形配准

## ● 基于特征空间从优化中学习配准



# 基于优化学习的可变形配准



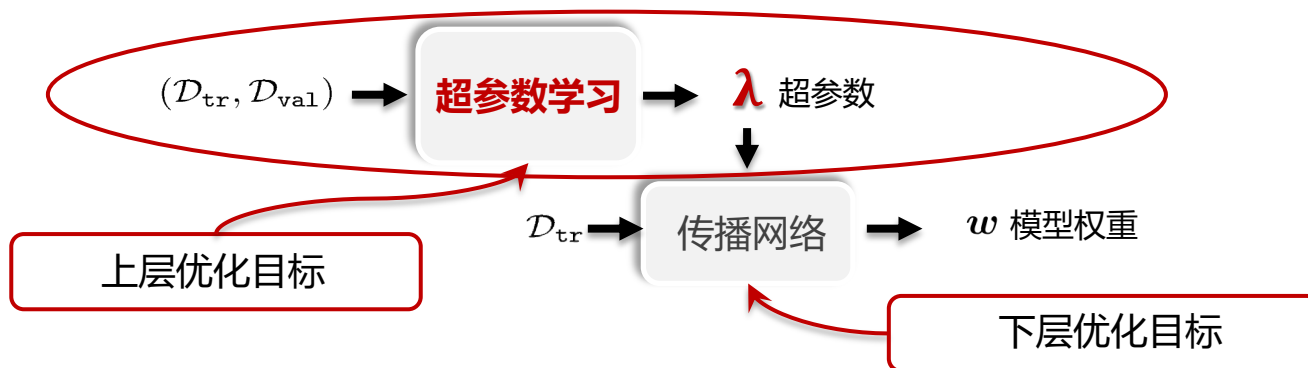
## 训练目标

$$l(\mathbf{w}(\lambda), s_i, t_i) = \sum_0^K \lambda_{sta}^k (l_{KL}(\mu^k, \Sigma^k) + \lambda_{mat} l_{mat}(s_i \circ \varphi^k, t_i) + \lambda_{reg} l_{reg}(v^k))$$



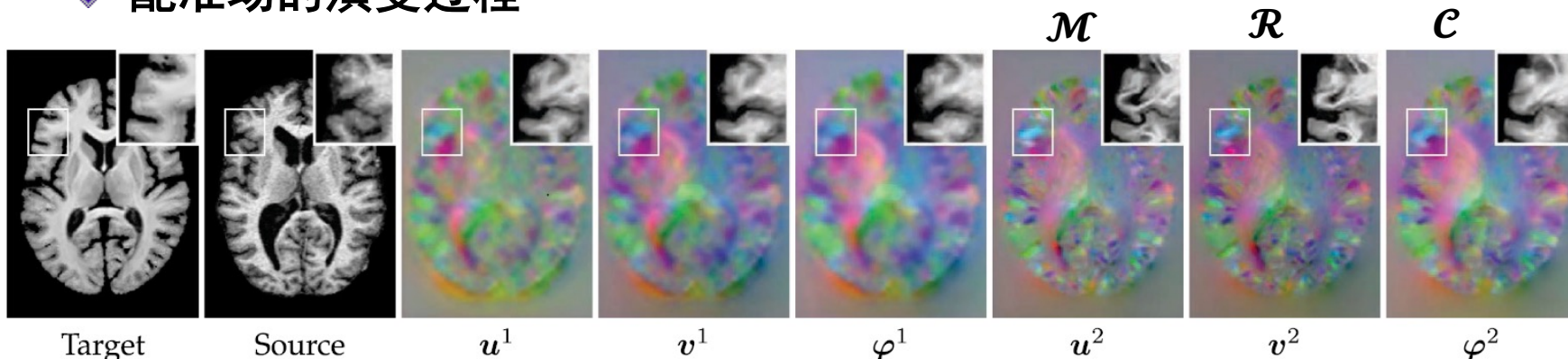
- **双层自调整训练** 策略, **自动** 学习  $\lambda$

$$\min_{\lambda} F(\lambda, \mathbf{w}), s. t. \mathbf{w} \in \mathcal{C}(\lambda) \text{ with } \mathcal{C}(\lambda) := \left\{ \arg \min_{\mathbf{w}} f(\lambda, \mathbf{w}) \right\}$$



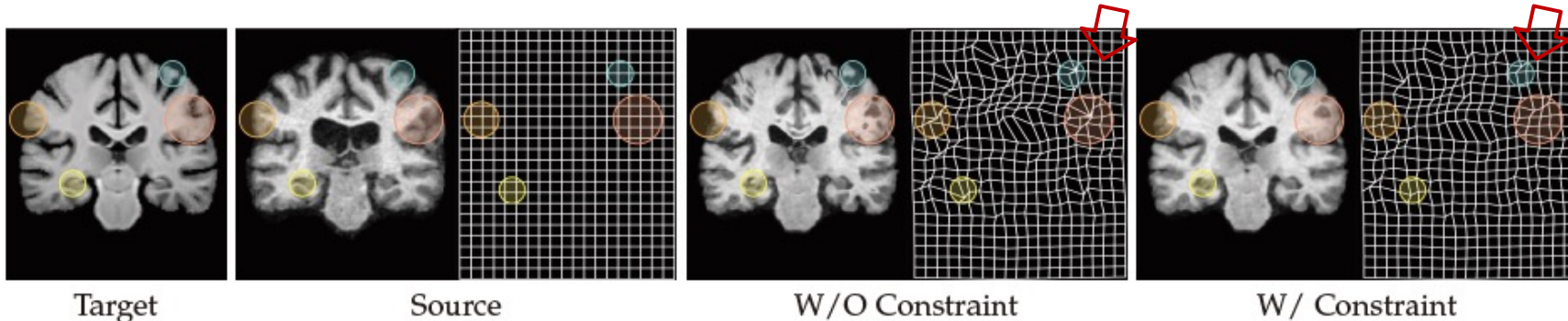
# 基于优化学习的可变形配准

## ◆ 配准场的演变过程



## ◆ 显式几何约束的消融分析

减少场的不合理 **折叠!**



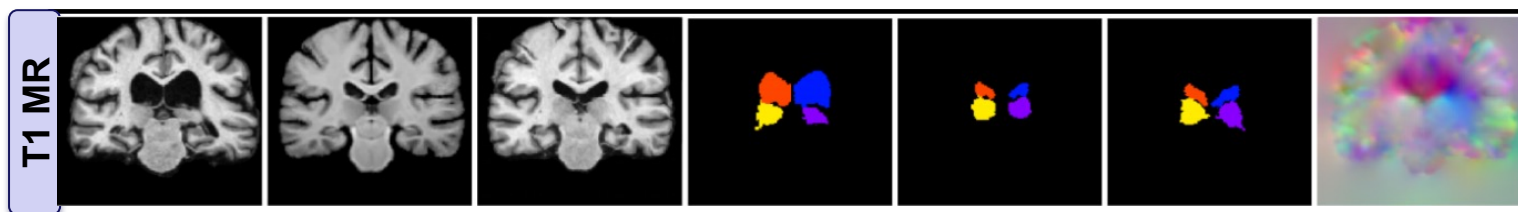


# 基于优化学习的可变形配准

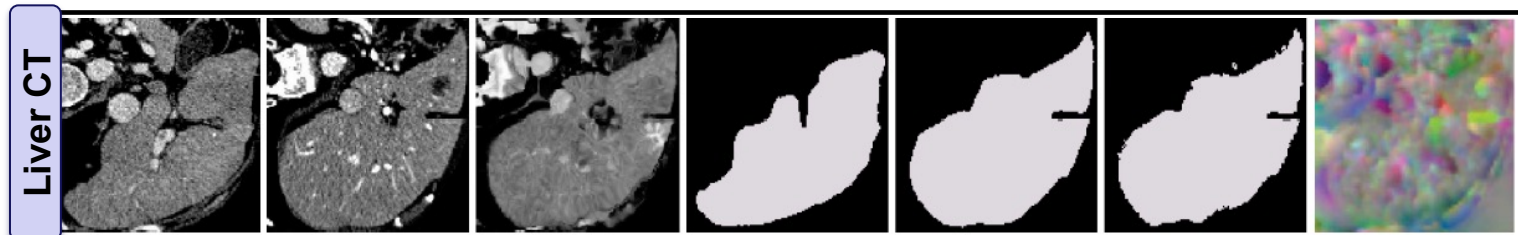


## ◆ 三个任务上自动学习到的超参数

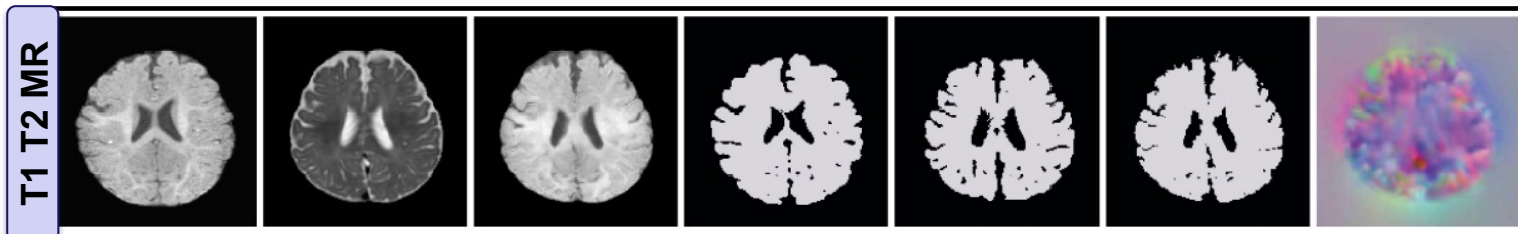
$$W / \lambda = 1.6$$



$$W / \lambda = 1.2$$



$$W / \lambda = 0.1$$



源图像

目标图像

配准后图像

源标签

目标标签

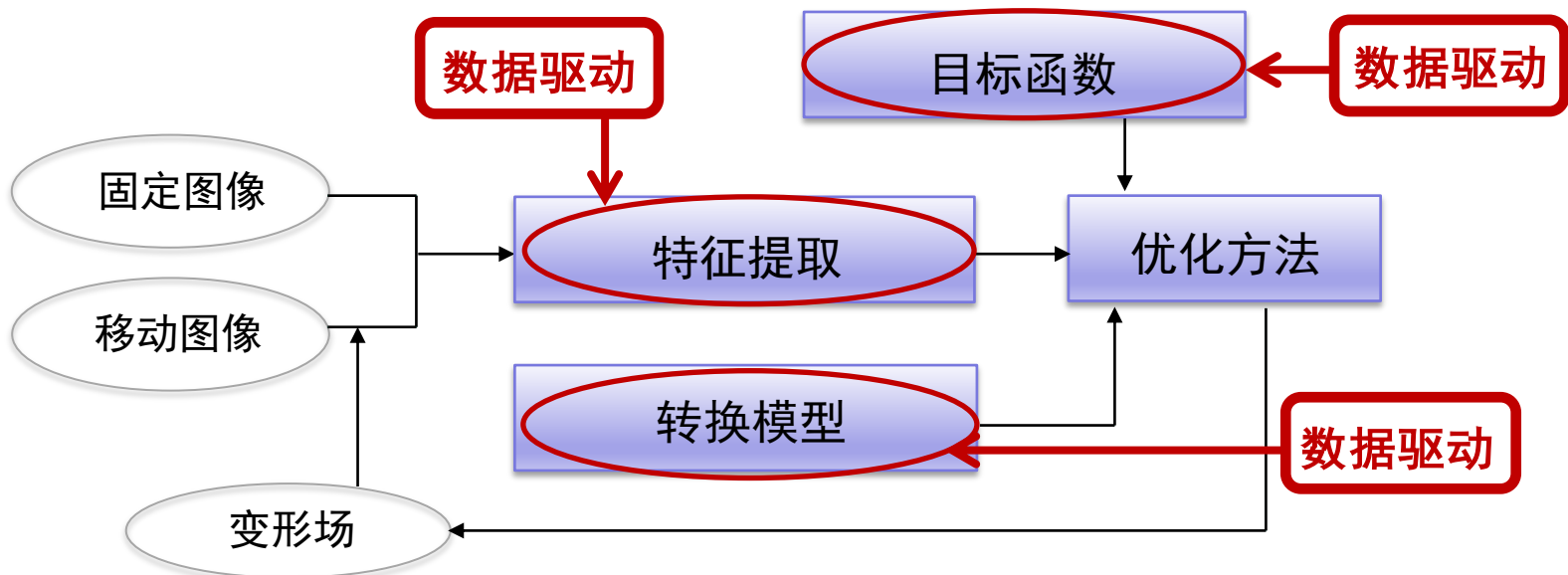
配准后标签

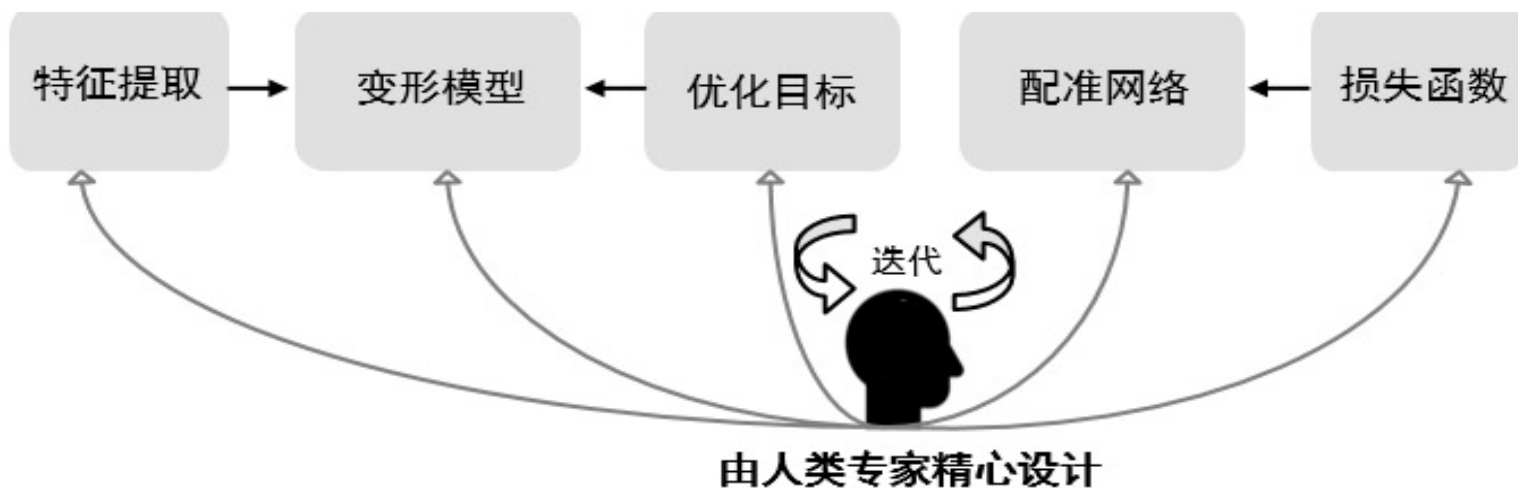
变形场

## 第四章

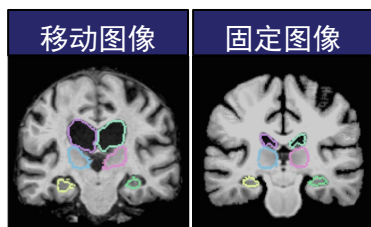
# 基于自动机器学习的配准

Automated learning for medical image registration

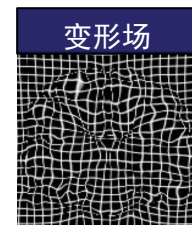




◆ 需要计算机专家付出巨大努力来设计能量或调整网络架构



✓ 不依赖专业知识  
✓ 降低验证成本

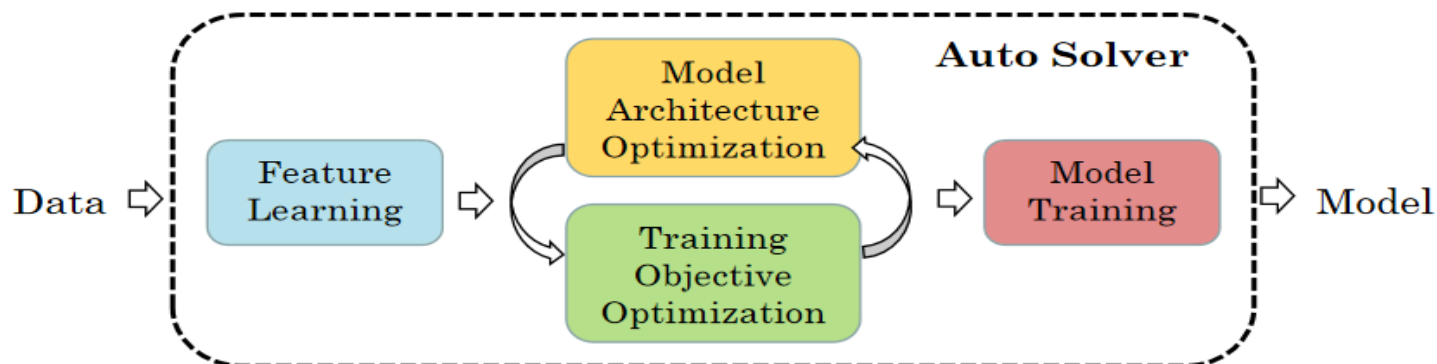
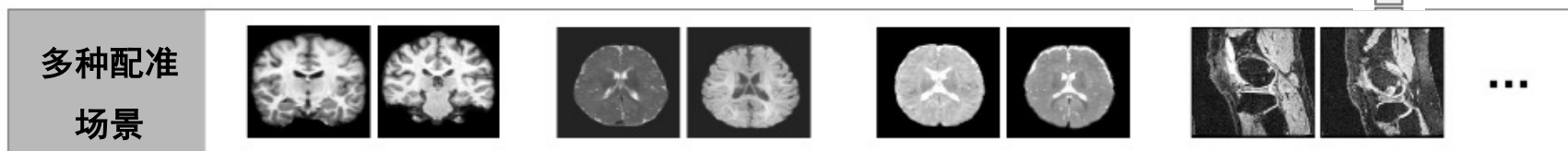
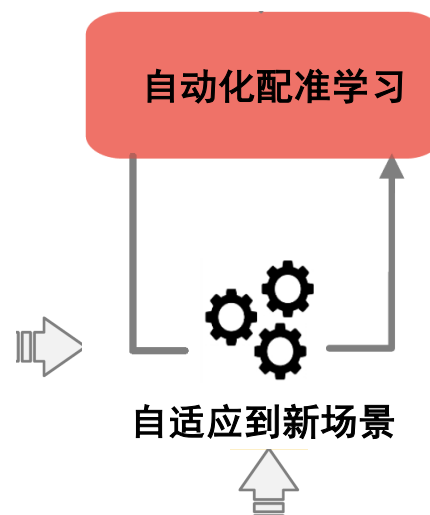


# 基于自动机器学习的配准

## ● AutoReg 的 三层优化 问题建模

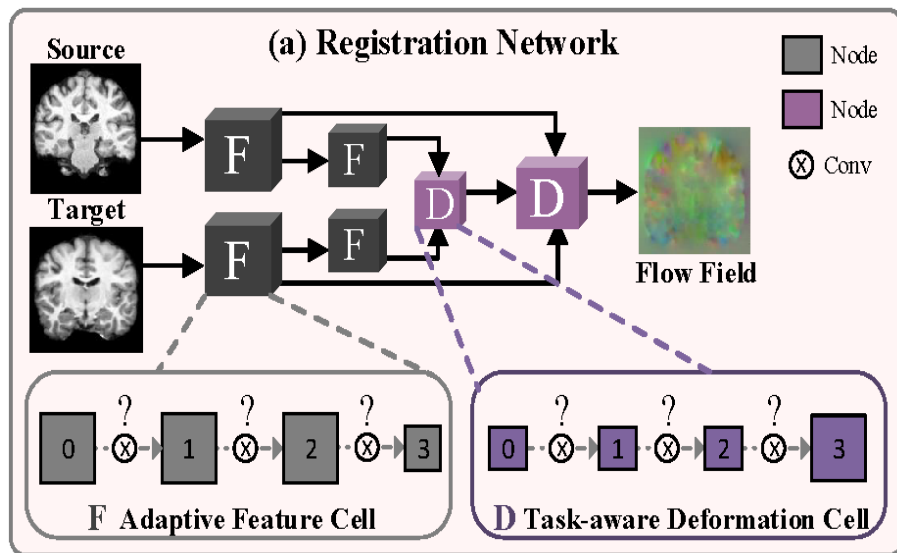
$$\min_{\lambda} \mathcal{L}_{val}^{seg}(\lambda, \alpha^*, \omega^*; s, t),$$

$$s.t. \begin{cases} \alpha^*(\lambda) = \arg \min_{\alpha} \mathcal{L}_{val}^{reg}(\alpha, \omega^*(\alpha); \lambda, s, t), \\ s.t. \omega^*(\alpha) = \arg \min_{\omega} \mathcal{L}_{tr}^{reg}(\omega; \alpha, \lambda, s, t). \end{cases}$$



# 基于自动机器学习的配准

## ● 神经网络搜索：从手工设计到 **自动搜索**



### 搜索空间

- $1 \times 1 \times 1$  Conv (1-Conv)
- $3 \times 3 \times 3$  Conv (3-Conv)
- $5 \times 5 \times 5$  Conv (5-Conv)
- $3 \times 3 \times 3$  Separable Conv (3-SConv)
- $5 \times 5 \times 5$  Separable Conv (5-SConv)
- $3 \times 3 \times 3$  Dilation Conv (3-DConv)
- $5 \times 5 \times 5$  Dilation Conv (5-DConv)
- $7 \times 7 \times 7$  Dilation Conv (7-DConv)



# 基于自动机器学习的配准

## ◆ 结构最优性验证

Method	Brain T1-to-T1	Brain T2-to-T2	Knee T1-to-T1	Brain T2-to-T1
All-1-Conv	0.700 (0.035)	0.610 (0.009)	0.395 (0.110)	0.579 (0.005)
All-3-Conv	0.769 (0.025)	0.636 (0.010)	0.605 (0.131)	0.617 (0.006)
All-7-Conv	0.761 (0.025)	0.610 (0.009)	0.614 (0.091)	0.613 (0.007)
AutoReg	<b>0.778 (0.023)</b>	<b>0.646 (0.010)</b>	<b>0.616 (0.150)</b>	<b>0.622 (0.007)</b>

## ◆ 计算成本

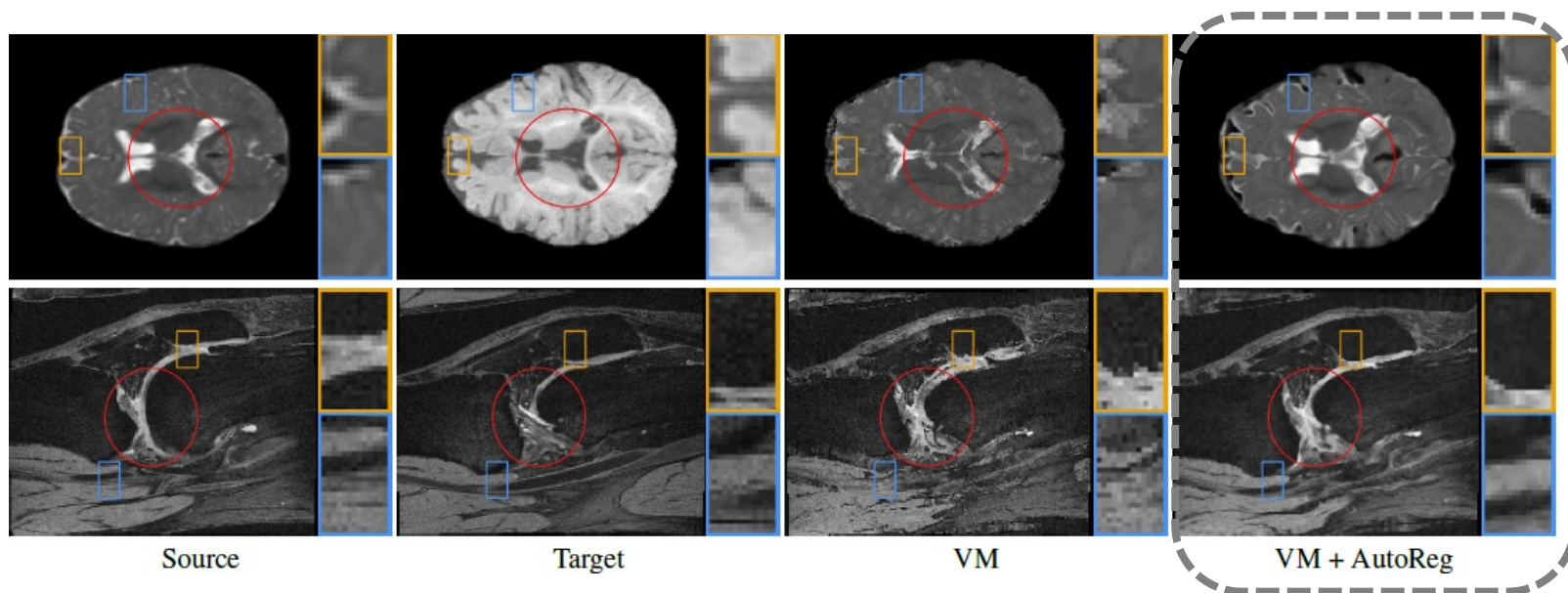
Strategy	AutoReg + Training	Manual + Training
Runtime	48 + 23 hour	23 * n

通常设置为 大于10

# 基于自动机器学习的配准

## ◆ 通用性分析

Method	Brain T1-to-T1	Brain T2-to-T2	Knee T1-to-T1	Brain T2-to-T1
VM	0.757 (0.035)	0.638 (0.012)	0.440 (0.132)	0.579 (0.013)
VM + AutoReg	<b>0.761 (0.010)</b>	<b>0.640 (0.013)</b>	<b>0.482 (0.151)</b>	<b>0.596 (0.006)</b>





---

# 第五章

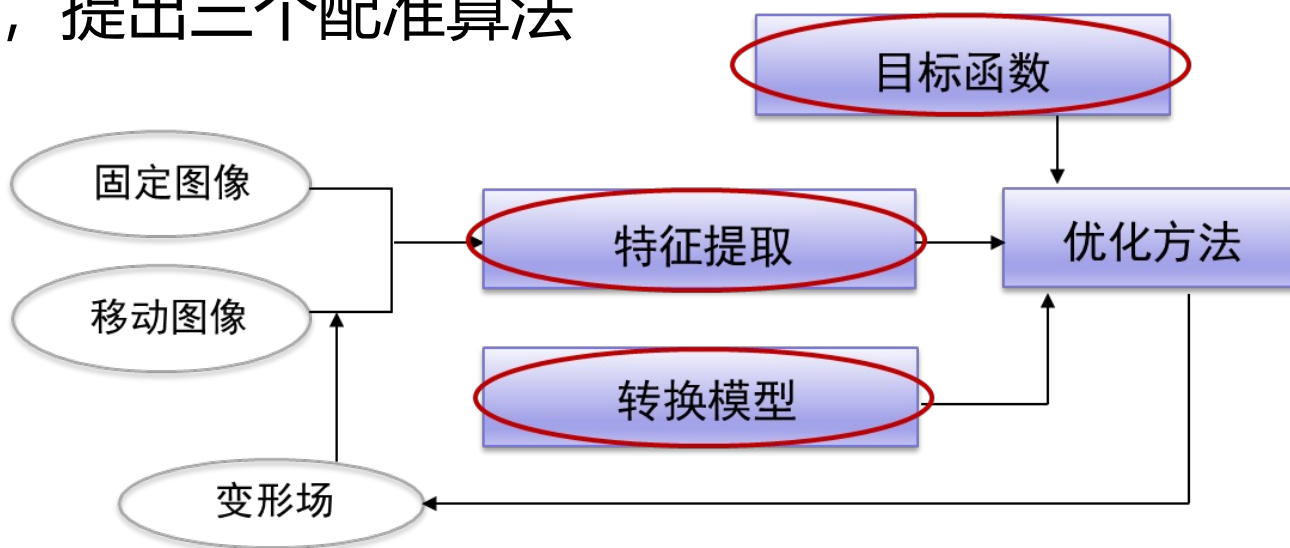
---

# 总结与展望

Summary and outlook

---

- 将 **深度学习** 与 **双层优化** 相结合，从 **配准框架** 的三个方面出发，提出三个配准算法



- 基于 **双层特征学习** 的配准模型
- 新颖的相似度测量，**双层自调整损失函数**
- 自动优化特征/变形学习模块 **损失函数** 和 **网络结构** 的框架

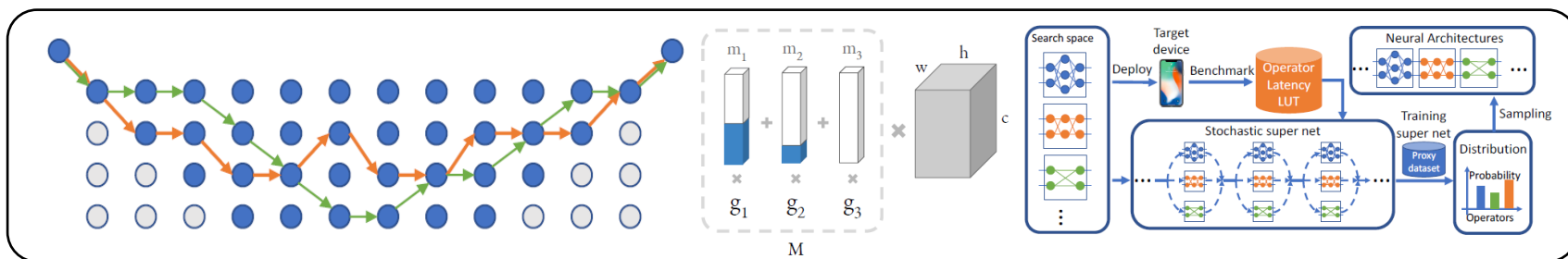
## □ 配准自动化学习

$$\min_{\lambda} \mathcal{L}_{val}^{seg}(\lambda, \alpha^*, \omega^*; s, t),$$

$$s. t. \begin{cases} \alpha^*(\lambda) = \arg \min_{\alpha} \mathcal{L}_{val}^{reg}(\alpha, \omega^*(\alpha); \lambda, s, t), \\ s. t. \omega^*(\alpha) = \arg \min_{\omega} \mathcal{L}_{tr}^{reg}(\omega; \alpha, \lambda, s, t). \end{cases}$$

### ● 涵盖其他结构超参数

- 控制单元之间连接的网络拓扑
- 层数和分辨率级别, ...



感谢团队培养

谢谢聆听 请批评指正

